

Amplidyne의 飽和現象을 考慮한 直流定電壓系統의 過渡應答 解析

論 文

26~6~3

Transient Response Analysis of DC Voltage Regulating System with Amplidyne Saturation Effect

李 承 院* · 金 南 豪**
(Sung Won Rhee, Nam Ho Kim)

Abstract

This paper deals with the transient analysis of an amplidyne dc voltage regulating system under the following conditions:

- (1) assuming all the components of the system to be linear
- (2) considering the effect of amplidyne saturation. The mathematical technique employed is state variables method. The calculated response curves are compared with the experimental results obtained on a practical system.

The main results can be summarized as follows:

- 1) The effect of amplidyne saturation on the transient response of a dc voltage regulating system is to reduce the overshoot and setting time.
- 2) With the increase in level of the step reference voltage, the system response becomes apesiodic.
- 3) The steady output voltage is reduced appreciably compared to the linear case.

1. 序 論

直流定電壓系統의 過渡應答 解析은 系統의 모든 要素가 線型의이 바면 주어진 階段形入力(Step Input)에 對한 過渡應答 解析은 簡單하지만 實際 系統의 各要素는 非線型의이며 特히 負荷의 變動이 를 境遇 運轉點이 飽和條件下에 있게 되어 非線型特性을 나타내게 되는데 이와 같은 境遇에도 線型理論을 適用한다면 實際와 相當히 다른 結果를 招來하게 된다.

直流增幅發電機인 Amplidyne은 定電壓系統의 한 要素로서 基準電壓과 發電機로부터의 負饋還電壓으로써 勵磁信號系統을 이루고 있는데 이러한 Amplidyne은 磁氣飽和의 影響에 敏感하여⁽¹⁾ 非線型特性을 나타내게 된다.

過去에는 飽和率(Appropriate Saturation Factor)⁽¹⁾을 利用하거나 또는 그레프法(Modified Graphical Field Mapping Method)⁽²⁾으로 飽和現象을 考慮했

으나 近來에 와서 高速 Digital Computer에 의하여 더욱 正確하게, 飽和現象으로 나타나는 非線型特性을 取扱할 수 있게 되었다.^{(3), (4)}

本 論文에서는 그림 1의 直流定電壓系統의 過渡應答 解析을

- (1) 系統의 모든 要素가 線型의이라고 假定한 境遇와
- (2) 系統의 한 要素인 Amplidyne의 飽和現象을 考慮한 境遇에 對하여 狀態變數法(State Variable Met-

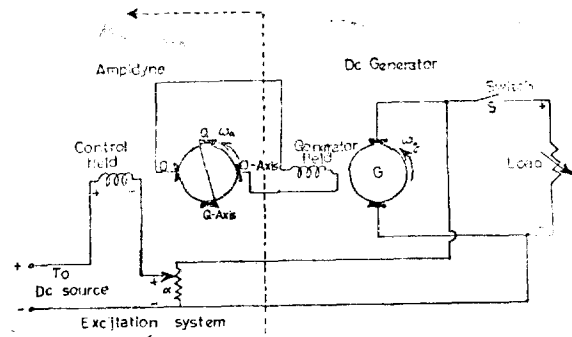


그림 1. 正流定電壓系統

Fig. 1. DC voltage regulating system.

* 正會員: 서울工大 教授·工博(當學會 會長)

** 正會員: 韓國電氣機器試驗研究所研究員

接受日字: 1977年 8月 27日

hod)[5]으로 數學的인 모델을 세워 이를 Digital Computer에 의해 計算하고 實際 實驗結果와 比較함으로써 Amplidyne의 飽和現象이 全系統의 過渡應答에 미치는 影響을 알아 보았다.

2. 線型的인 境遇

直流發電機의 界磁에 印加된 電壓 v_d 와 誘起電壓 v_a 는 다음과 같다.

$$v_d = R_s(1+T_f P) i_s \quad (1)$$

$$v_a = K_f i_s = (R_a + L_a P) i_a + v_c \quad (2)$$

Amplidyne의 傳達函數⁽⁶⁾는

$$\frac{v_d}{v_f} = \frac{K_f K_q}{R_f R_q (1+T_f P)(1+T_q P)} \quad (3)$$

系統의 모든 要素가 線型의이라고 假定한 境遇 全系統의 블럭線圖는 그림 2와 같다. 系統의 過渡現象은

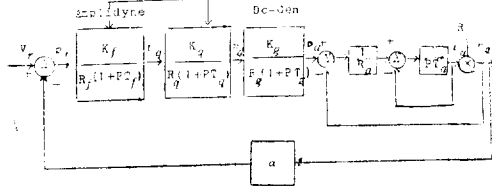


그림 2. 선형계통의 Block선도

Fig. 2. Block diagram of linear system

任意의 負荷를 결고 그림 1의 스위치 S 를 短絡하여 定常狀態에 到達할 때까지의 過渡應答과 定常運轉時 負荷變動에 의한 過渡應答으로 2가지 관점에서 알아본다

그림 2에서

$$\dot{v}_q = \frac{1}{T_f} \left(\frac{K_f}{R_f} v_f - v_q \right) \quad (4)$$

$$v_f = V_r - \alpha v_a \quad (5)$$

$$\dot{v}_d = \frac{1}{T_q} \left(\frac{K_q}{R_q} v_a - v_d \right) \quad (6)$$

$$\dot{v}_a = -\frac{1}{T_a} \left\{ \frac{R_a}{R} (v_a - v_c) - v_a \right\} \quad (7)$$

1.5kW, 125V, 1800r.p.m. Amplidyne과 1.5kW, 125V, 1750r.p.m. 直流發電機에 對한 定數值는 다음과 같으며 測定은 ^{(7), (8)}

$$R_f = 980[\Omega], R_q = 1.5[\Omega], R_s = 141[\Omega],$$

$$R_a = 0.62[\Omega]$$

$$T_f = 0.032[s], T_q = 0.076[s], T_a = 0.074[s],$$

$$T_s = 0.084[s]$$

$$K_f = 530[V/A], K_q = 41[V/A]$$

3. Amplidyne의 飽和現象을 考慮한 境遇

그림 3에서

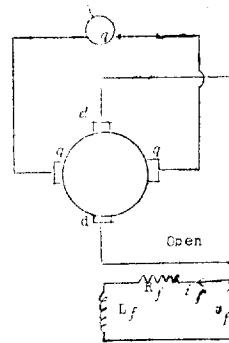


그림 3. Amplidyne의 제어一횡축회로도

Fig. 3. The control-quadrature axis circuit of amplidyne

$$v_f = (R_f + L_f P) i_f \quad (8)$$

$$v_q = K_f i_f \quad (9)$$

윗 式에서 電壓利得 및 界磁인ductance로 K_f 와 L_f 을 使用했는데 이들은 非飽和條件을 表示한다. 그러나 饱和條件에서는 K_f 와 L_f 가 常數가 아니고 勵磁電流 i_f 의 函數가 된다. 饱和函數 S 를 定義하여⁽⁵⁾

$$S = \frac{K_f}{K_f} (i_f) = \frac{L_f i_f}{L_f} (i_f) \quad (10)$$

(但 添字 “fs”는 饱和領域을 나타낸다) 結局 饱和를 考慮한 境遇 式(8), (9)는

$$v_q = S K_f i_f \quad (11)$$

$$v_f = (R_f + S L_f P) i_f \quad (12)$$

윗 式에서

$$v_q = \frac{S K_f v_f}{R_f (1+S T_f P)} \quad (13)$$

式 (13)을 블럭線圖로 表示하면 그림 4와 같으며 ϕ_1 이 非線型要素이다.

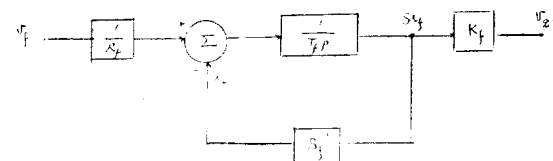


그림 4. 饱和 고려시 제어一횡축 Block선도

Fig. 4. The block diagram of the control-quadrature axis circuit on saturation effect

여기서

$$S_f^{-1} = 1, 0 \leq i_f \leq i_{f0}$$

$$S_f^{-1} > 1, i_{f0} < i_f$$

(但 i_{f0} 는 線型部分 臨界電流值)

같은 方法으로 Amplidyne의 直軸飽和를 取扱할 수 있으며 全系統의 블럭線圖는 그림 5와 같으며 블럭 ϕ_1

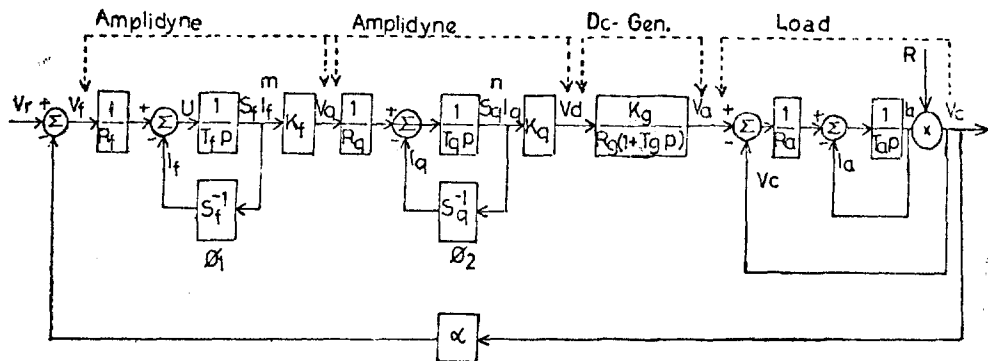


그림 5. Amplidyne의 포화현상 고려시 전 계통의 Block선도

Fig. 5. Block diagram of the system considering saturation effect

파 ϕ_2 가 Amplidyne의 饱和現象을考慮함으로써 나타나는 非線型要素들이다.

그림 5에서 狀態方程式을 세우면 式(13)에서

$$\dot{v}_q = \frac{K_f}{T_f} \left\{ \frac{1}{R_f} (V_r - \alpha v_c) - m S_f^{-1} \right\} \quad (14)$$

Amplidyne의 直軸브러시에 誘起되는 電壓은

$$v_d = \frac{S_q K_q}{R_q (1 + S_q T_q P)} v_q \quad (15)$$

여기서

$$\dot{v}_d = \frac{K_q}{T_q} \left(\frac{v_q}{R_q} - n S_q^{-1} \right) \quad (16)$$

直流發電機의 誘起電壓式으로 부터

$$\dot{v}_a = \frac{1}{T_a} \left(\frac{K_a}{R_a} v_d - v_c \right) \quad (17)$$

直流發電機의 端子電壓

$$\dot{v}_c = \frac{1}{T_c} \left\{ \frac{R}{R_a} (v_a - v_c) - v_c \right\} \quad (18)$$

위의 式에서 S_f^{-1} 와 S_q^{-1} 를 1로 브면 線型系統과 같게 된다.

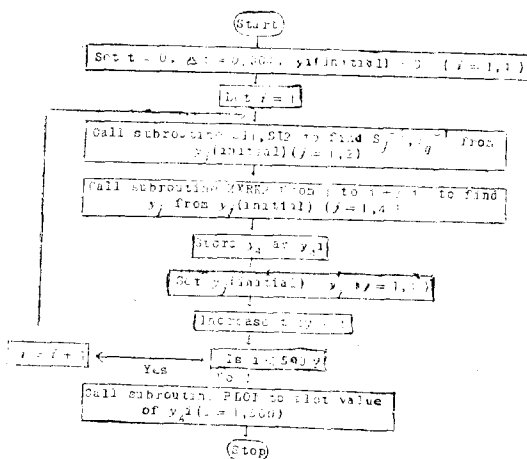
그림 6. Flow Chart와 Listing
Fig. 6. Flow Chart and Listing

그림 6은 Computer計算을 위한 Flow Chart와 Listing이다.

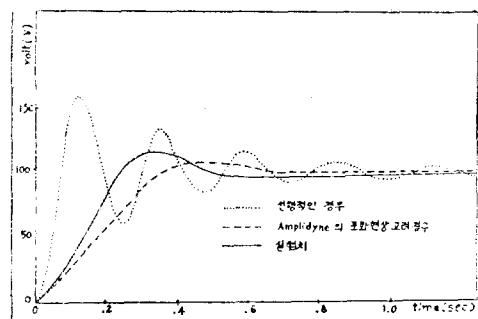
4. 結果 및 考察

直流定電壓系統의 過渡應答解析을 線型的인 境遇, Amplidyne의 饱和現象을 考慮한 境遇 그리고 이들을 實驗值와 比較하였다.

(1) 그림 7은 基準電壓 $V_r = 100[V]$, 餌還利得 $\alpha = 0.5$ 일 때 境遇에 對한 曲線들이며 表 1은 이들의 比較圖이다. 實驗值는 그림 1의 소위치 S 를 短絡시켰을 때 Oscilloscope에 나타난 出力電壓(v_c)波形을 取하였는다.

表 1. 比較圖

	Max. Overshoot [%]	5% Settling time [sec]	Rise time [sec]	Steady state output [V]
線型的인 境遇				
非線型의인 境遇	17	0.47	0.38	102
實驗結果	24	0.52	0.22	99

그림 7. $V_r = 100[V]$, $\alpha = 0.5$ 일 때의 과도응답曲線 비교도Fig. 7. Transient response curves when $V_r = 100[V]$, $\alpha = 0.5$

(2) 基準電壓이 增加함에 따라 Amplidyne의 飽和効果가 두드러지며 定常狀態 出力電壓도 線型的인 境遇에 比하여 相當히 減少되었다.

(3) 그림 8은 定常運轉時 負荷變動으로 因한 ($\Delta V = 30V$) 세 境遇의 比較曲線이다.

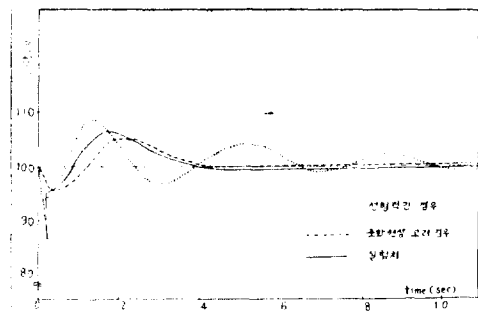


그림 8. $V_r=100[V]$, $\alpha=0.5$ 부하변동 30[V] 일 때의 과도응답 곡선 비교도

Fig. 8. Transient response curves when $V_r=100[V]$, $\alpha=0.5$, $\Delta V=30[V]$

(4) 實驗值와 計算值사이의 差異는 系統의 定數測定 및 假定에서 提示한 効果들을 考慮하지 않음으로써 나타난 誤差이다.

5. 結論

直流增幅發電機로서 定電壓系統의 한 要素인 Amplidyne의 磁氣飽和 現象이 全系統의 過渡應答에 미치는 影響을 알아 보았으며 結果를 要約하면 다음과 같다.

(1) Amplidyne의 飽和現象은 Overshoot와 Setting time을 減少시킨다.

(2) Rise Time은 線型的인 境遇과 飽和를 考慮한 境遇보다 짧다.

(3) 基準電壓이 增加함에 따라 Amplidyne의 飽和効果가 顯著하여 定常狀態 出力電壓도 線型的인 境遇에 比하여 相當히 減少되었다.

이와 같이 Amplidyne의 飽和効果가 直流定電壓系統의 過渡應答에 미치는 影響을 알아 보았으며 實際에 더욱 가까운 解析을 期할 수가 있었다.

참 고 문 헌

1. A.E. Fitzgerald, C. Kingsley, A. Kusko, "Electric Machinery" (Book), McGraw Hill, 1971, pp. 460-463

2. Poritsky, H., "Graphical Field Plotting Methods in Engineering", AIEE Trans., Vol. 70, PtI, 1951, pp. 309-319
3. F.C. Trutt, E.A. Erdelyi, R.E. Hopkins, "Representation of the Magnetization Characteristic of DC Machines for Computer Use" IEEE Trans., Vol. PAS-87, 1968, pp. 665-669
4. Yu, Yao-Nan, and G.E. Dawson, "Modeling a Four Electric Machine System on Analog Computer Using Parameters Directly Determined From Tests," IEEE Trans., Vol. PAS-87, 1968, PP. 632-640.
5. B.C. Kuo, "Automatic Control Systems" Prentice-Hall, Inc., 1975.
6. S.A. Nasar, "Electromagnetic Energy Conversion Devices and Systems", Prentice-Hall, Inc 1970.
7. J.L. Bower, "Fundamentals of the Amplidyne Generator". AIEE Trans., Vol. 64, 1945.]
8. R.M. Saunders, "Measurement of DC Machine Parameters" Electrical Engineering, New York, Vol. 70, 1951. p. 787.

<記 號>

K_x : Amplidyne의 橫軸電壓利得[V/A]

K_y : Amplidyne의 直軸電壓利得[V/A]

K_z : 直流發電機의 電壓利得[V/A]

R_f , T_f : Amplidyne의 制御捲線의 抵抗 및 時定數[Ω], [sec]

R_g , T_g : Amplidyne의 橫軸回路의 抵抗 및 時定數[Ω], [sec]

R_s , T_s : 直流發電機의 界磁捲線의 抵抗 및 時定數[Ω], [sec]

V_r : 基準電壓[V]

v_f : 制御捲線에 印加된 電壓[V]

v_a : Amplidyne의 橫軸에 誘起되는 電壓[V]

v_d : Amplidyne의 直軸에 誘起되는 電壓[V]

v_a : 直流發電機의 誘起電壓[V]

v_e : 直流發電機의 端子電壓[V]

R : 純抵抗負荷[Ω]

α : 頓還利得

P : $\frac{d}{dt}$

i_a : 負荷電流[A]